

受体引起的多巴胺 (DA), γ -氨基丁酸 (GABA) 的释放可能与 CaM 的活性变化有关。这为进一步研究一些疾病, 如帕金森氏症、精神分裂症的发病机制提出了新的思路。

参 考 文 献

- 1 Liddle R A. Cholecystokinin cells. Annu Rev Physiol, 1997, **59**: 221~ 242
- 2 Dildy J E, Leslie S W. Ethanol inhibits NMDA-induced increase in free intracellular Ca^{2+} in dissociated brain cells. Brain Res, 1989, **499** (2): 383~ 389
- 3 Thompson W J, Brooker G, Appleman M M. Assay of cyclic nucleotide phosphodiesterases with radioactive substrates. Methods Enzymol, 1974, **38**: 205~ 212
- 4 Wank S A. Cholecystokinin receptors. Am J Physiol, 1995, **269** (5 pt 1): G628~ G646
- 5 Yule D I, Williams J A. CCK antagonists reveal that CCK_A and JM-V-180 interact with different sites on the rat pancreatic acinar cell CCK_A receptor. Peptides, 1994, **15** (6): 1045~ 1051
- 6 Galas M C, Bernad N, Martinez J. Pharmacological studies on CCK_B receptor in guinea pig synaptoneuroosomes. Eur J Pharm, 1992, **226**: 35~ 41
- 7 Muller W, Heinemann U, Berlin K. Cholecystokinin activates CCK_B receptor mediated Ca²⁺ signaling in hippocampal astrocytes. J Neurophysiol, 1997, **78** (4): 1997~ 2001
- 8 陈素珍, 韩济生. 八肽胆囊收缩素拮抗 NDAP 对大鼠脊髓钙调蛋白的作用. 生理学报, 1994, **46** (2): 120~ 125
Chen S Z, Han J S. Acta Physiologica Sinica, 1994, **46** (2): 120~ 125
- 9 Zhang L J, Lu X Y, Han J S. Influence of cholecystokinin octapeptide phosphatidylinositide turnover in neonatal rat brain cells. Biochem J, 1992, **285** (2): 390~ 393
- 10 刘景生主编. 细胞信息与调控. 北京: 北京医科大学·中国协和医科大学联合出版社. 1998. 191~ 192

Liu J S. Cell Information and Regulation. Beijing: Beijing Medical University and Peking Union Medical College Press, 1998. 191~ 192

The Effect of Cholecystokinin Octapeptide on CaM Activity in Rat Cerebral Cortex Neurocytes. XIANG Peng, CHEN Man-Ling, WU Zhao-Feng (Department of Biochemistry, West China University of Medical Sciences, Chengdu 610041, China).

Abstract In order to investigate the effects of cholecystokinin octapeptide (CCK₈) on calmodulin activity in rat cerebral cortex, the cerebral cortex neurocytes was used as a model. CCK₈ stimulated the activation of CaM in a time-dependent manner. After 15 minutes of treatment of 1 $\mu\text{mol/L}$ CCK₈, the CaM activity reached the maximum increase. CaM activity was increased in a dose-dependent manner by CCK₈ ($10^{-12} \sim 10^{-7} \text{ mol/L}$). The CCK_B-specific receptor antagonist L-365, 260 and with a weaker efficiency, the CCK_A-specific receptor antagonist L-364, 718, were able to block a maximal effect of CCK₈-induced CaM activation, suggesting that CCK_B receptor may regulate CaM activity in cerebral cortex.

Key words CCK₈, CCK_B receptor, calmodulin

大剂量地塞米松快速高效诱导巨噬细胞凋亡

黄行许 陈练习¹⁾ 鲍永耀¹⁾ 朴英杰¹⁾ 黄有国²⁾

(中国科学院生物物理研究所, 生物大分子国家重点实验室, 北京 100101)

摘要 运用透射电镜、DNA 琼脂糖凝胶电泳、流式细胞术、原位末端标记法 (TUNEL) 染色等技术, 检测了大剂量地塞米松处理小鼠腹腔巨噬细胞的各种变化。结果显示, 大剂量地塞米松处理的巨噬细胞发生胞体皱缩、染色质凝聚、胞质浓缩; TUNEL 染色呈阳性; 0.5 h 后 DNA 凝胶电泳即呈梯状条带; 流式细胞术作周期分析出现凋亡峰等明显的凋亡特征。并且随处理时间延长凋亡率升高。结果表明, 大剂量地塞米松快速、高效诱导小鼠腹腔巨噬细胞凋亡。

关键词 小鼠, 腹腔巨噬细胞, 凋亡, 地塞米松

学科分类号 Q28

¹⁾第一军医大学中心实验室, 广州 510515. ²⁾通讯联系人.

Tel: (010) 64888518, E-mail: huang@sun5.ibp.ac.cn 收稿日期: 1999-10-12, 修回日期: 2000-03-07

作为免疫调节和免疫效应细胞，巨噬细胞与细胞凋亡的密切关系首先是因其作为凋亡细胞的主要清除者而受到关注，随着对细胞凋亡研究的深入，人们发现巨噬细胞主要通过凋亡实现其生物学意义：第一、机体每天产生大约 10^{10} 个巨噬细胞，通过细胞凋亡机体以同样的速度清除衰老的巨噬细胞^[1]；第二、巨噬细胞在清除侵入机体的病原微生物时，易感染、携带细菌、病毒、寄生虫等致病微生物，机体通过促进感染的巨噬细胞凋亡从而清除这些病原体^[2]；第三、巨噬细胞经干扰素(IFN)-γ等炎性细胞因子激活后发挥作用，同时机体通过介导激活巨噬细胞的凋亡来限制其危害^[3]。

巨噬细胞凋亡的重要作用显示出巨噬细胞凋亡研究的重要性，并引起了人们的关注。已有的报道表明，常用于诱发巨噬细胞凋亡的因素有激素、细胞因子、生物因素和化学物质等^[2,4~8]，它们可通过NO介导巨噬细胞凋亡。不过这些介导物使巨噬细胞凋亡时或是诱导效率低，如IFN-α和脂多糖(LPS)只能诱导百分之十几的巨噬细胞凋亡；或是诱导时间长，如NO发生剂如SNP(sodium nitroprusside)、SNAP(S-nitroso-N-acetylpenicillamine)、GSNO(S-nitrosoglutathione)等诱导巨噬细胞凋亡的发生时间需十多小时^[4,5]。

为了更好地追踪巨噬细胞凋亡的生物物理和生物化学变化，认识巨噬细胞凋亡的特点，我们用地塞米松作凋亡诱导剂，通过形态学观察、DNA琼脂糖凝胶电泳、流式细胞术、TUNEL染色等检测，发现大剂量地塞米松可快速高效诱导巨噬细胞凋亡，是适于快速、实时研究细胞凋亡过程特征及其生物学意义的理想实验模型。

1 材料和方法

1.1 实验材料

1.1.1 实验动物：18~20 g 雌性昆明种小鼠。
1.1.2 实验试剂：碘化丙啶(propidium iodide, PI)、巯基乙醇酸钠(thioglycolate)、地塞米松(dexamethasone)、戊二醛(glutaraldehyde)、锇酸(osmium tetroxide)、环氧树脂(spurr's resin)，购自美国Sigma公司。RPMI-1640，购自德国GIBCO BRL公司。TUNEL试剂盒、核糖核酸酶(RNase)、蛋白酶K(proteinase K)，购自德国Boehringer Mannheim公司。放线菌酮(cycloheximide)，美国SERVA公司产品。小牛血

清，购自杭州四季青生物材料厂。其他试剂均为国产分析纯。

1.2 实验方法

1.2.1 细胞培养：18~20 g 雌性昆明种小鼠，按每天1次，每次1 ml连续三天腹腔注射1%巯基乙醇酸钠，停一天，按鄂征等的方法^[9]取腹腔巨噬细胞(台酚蓝吞噬实验显示99%为巨噬细胞)，以 1×10^6 个/ml接种于六孔细胞培养板(Nunc, 丹麦)，用含10%小牛血清的RPMI-1640培养于37℃、含5%CO₂孵箱(Quene System, 美国)内，12 h后加入大剂量地塞米松(1×10^{-4} mol/L)处理细胞。

1.2.2 透射电镜观察：上述条件培养、处理的巨噬细胞按每个样品 1×10^6 个细胞用细胞刮(rubber policeman)从培养板上刮下，用琼脂预包埋法^[10]制样，按常规固定、漂洗、脱水、渗透、包埋、切片、染色，JEM-1200EX透射电镜(JEOL, 日本)观察、摄片，加速电压80 kV。

1.2.3 原位末端标记法(TUNEL)：TUNEL染色(terminal deoxynucleotidyl transferase (TdT) mediated deoxyuridine triphosphate (dUTP) nick end labeling)按Gavrieli等^[11]的方法进行。

1.2.4 DNA琼脂糖凝胶电泳：按Mebmer等^[4]的方法进行。电泳后凝胶用计算机图象分析系统(computer documentation analysis system, CDAS)和GelBase/GelBlot软件(UVP ImageStore 7500, 英国)作定量分析。

1.2.5 流式细胞术：按上述条件分离、培养和处理的巨噬细胞，按每个样品 1×10^6 个，用细胞刮从培养板上刮下，离心收集。按Schmid方法^[12]制样，PI染色，Elite流式细胞仪(COULTER, 美国)采集数据(激发光波长488 nm，发射光波长633 nm)，并用Multicycle分析软件分析，通过计数凋亡区(亚二倍体区)细胞数量得出凋亡率。

2 结果和讨论

2.1 地塞米松诱导凋亡的巨噬细胞的形态学变化

地塞米松是一种常用作凋亡诱导剂的糖皮质激素类药物^[12]。Nguyen^[13]报道，地塞米松可引起中枢神经系统和周围神经系统内的巨噬细胞凋亡。我们用 1×10^{-6} mol/L地塞米松处理也肯定了其诱导巨噬细胞凋亡的作用，但诱发时间长达18 h^[14]。电镜观察显示，大剂量地塞米松(1×10^{-4} mol/L)处理，0.5 h后胞膜、胞核未见明显变化，胞质中

出现大量溶酶体，聚集在细胞核附近，线粒体分布在溶酶体周围。1.0 h 后，胞核中染色质固缩成均质状、电子密度高的染色质块边集在核膜下（图 1）。4.0 h 后，巨噬细胞的胞核固缩成均质、高电子密度的染色质块，胞质更加浓缩，胞质中基本上见不到溶酶体，但有许多变得致密的线粒体分布。有些细胞中，除高密度均质的固缩染色体外，遍布有大量线粒体，在线粒体周围，大量游离的核糖体聚集形成糖元湖。结果表明大剂量地塞米松处理引起巨噬细胞发生了凋亡形态学特征变化。

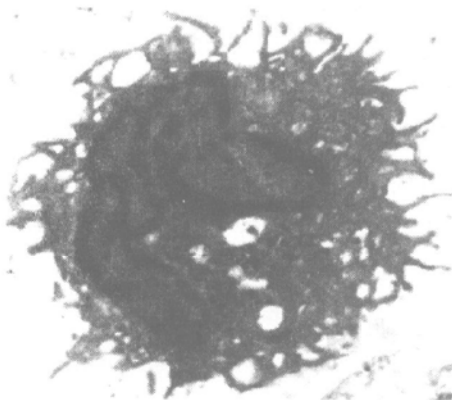


图 1 1×10^{-4} mol/L 地塞米松处理巨噬细胞的透射电镜图

小鼠腹腔巨噬细胞经 1×10^{-4} mol/L 地塞米松处理 1.0 h 后，巨噬细胞核中染色质固缩成均质状，电子密度高的染色质块边集在核膜下。胞内出现大量空泡，并有许多变得致密的线粒体分布。

2.2 地塞米松处理巨噬细胞的 TUNEL 染色阳性

TUNEL 法可原位直接检测核酸内切酶分解 DNA 形成的断端^[11]，而琼脂糖凝胶电泳和流式细胞术检测则需要 DNA 分解的一定积累。因此它是一种较琼脂糖凝胶电泳和流式细胞术更敏感的细胞凋亡的特异性检测方法。TUNEL 染色结果显示，大剂量地塞米松处理 4.0 h，巨噬细胞几乎全都表现为 TUNEL 阳性（图 2），而对照细胞呈 TUNEL 阴性。表明大剂量地塞米松诱导巨噬细胞凋亡。

2.3 地塞米松使巨噬细胞 DNA 琼脂糖电泳呈梯状条带

DNA 琼脂糖凝胶电泳呈特征性的梯状条带是凋亡细胞的生化特征^[15]。图 3 结果显示，大剂量地塞米松处理 0.5 h 后 DNA 即开始分解，并出现少量条带。1.0 h 后条带呈典型的梯状。电泳结果肯定了大剂量地塞米松使巨噬细胞发生典型的凋亡生化变化：DNA 被核酸内切酶分解成 180~200 bp

的整数倍的寡聚核苷酸片段。用 CDAS 分析经地塞米松处理 0、0.5、1.0、2.0、4.0 h 后巨噬细胞片段化 DNA 的比例（%）分别为 0、16.37、30.72、35.87、56.60。和通常凋亡细胞经十余小时出现梯状条带相比，大量地塞米松处理的巨噬细胞快速发生 DNA 片段化，且在较早时间（0.5 h）即呈现了清晰的 DNA 梯状条带特征。

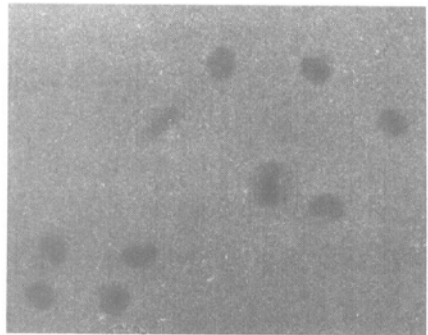


图 2 凋亡巨噬细胞 TUNEL 染色

小鼠腹腔巨噬细胞经 1×10^{-4} mol/L 地塞米松处理 1.0 h 后，固定，TUNEL 染色后光镜观察。（放大倍数：×200）。

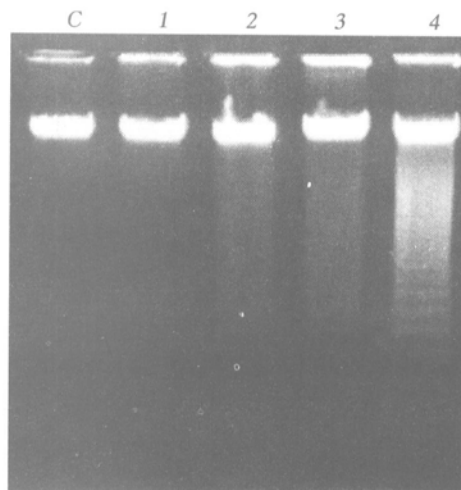


图 3 地塞米松诱发巨噬细胞 DNA 梯状条带

小鼠腹腔巨噬细胞经 1×10^{-4} mol/L 地塞米松作用 0、0.5、1.0、2.0、4.0 h 后，1% 琼脂糖凝胶电泳检测梯状条带。C：对照（0 h）；1：0.5 h；2：1.0 h；3：2.0 h；4：4.0 h。

2.4 地塞米松诱导巨噬细胞的典型凋亡峰

利用流式细胞术对凋亡细胞作周期分析时出现特征性的凋亡峰，并可根据凋亡峰快速计数细胞的凋亡率^[16]。我们利用流式细胞仪检测发现，大剂量地塞米松（ 1×10^{-4} mol/L）处理巨噬细胞出现特征性的凋亡峰（图 4）。地塞米松处理时间越长，凋亡峰越明显。统计分析结果表明，经地塞米松处理 0、0.5、1.0、2.0、4.0 和 8.0 h 巨噬细胞的凋

亡率(%)分别为:0、18.0、25.5、36.3、56.4、76.1。表明在8 h内巨噬细胞的凋亡率随着地塞米松处理时间延长而增高。与CDAS分析结果比较发现,流式细胞术得出的凋亡率和CDAS检测的片段

化DNA比例基本一致,表明DNA琼脂糖凝胶电泳不仅是一种特异性的凋亡定性研究方法,亦可对凋亡细胞作较准确的定量分析。

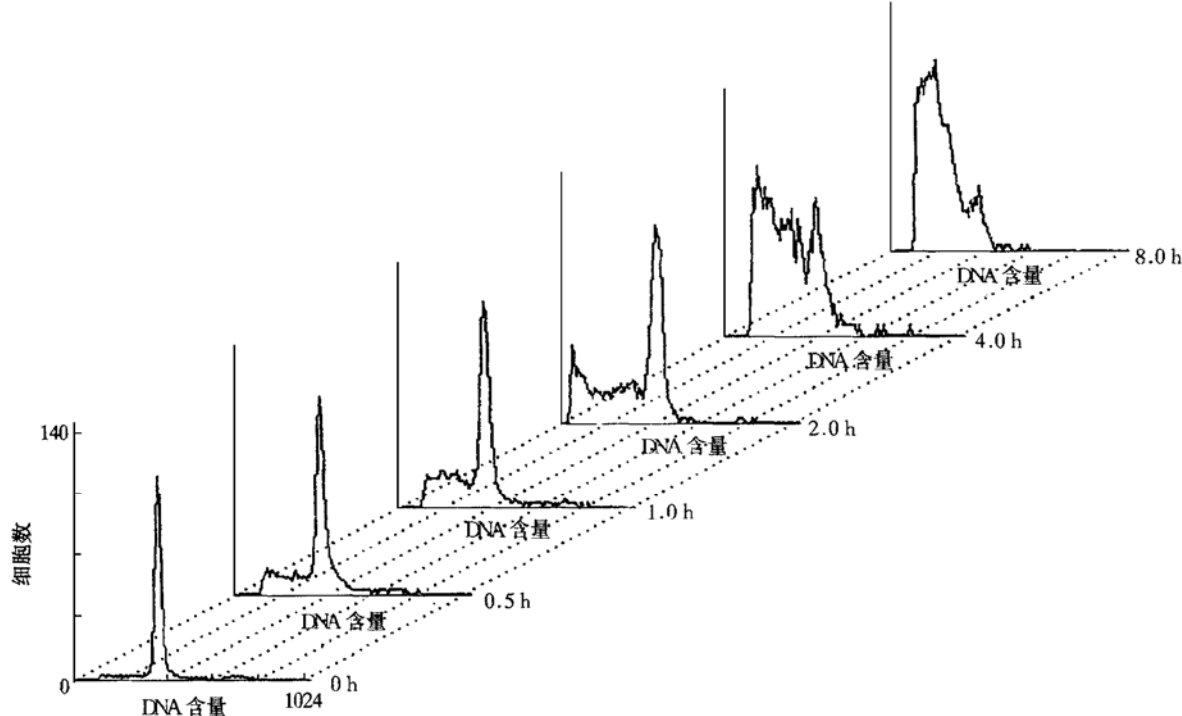


图4 地塞米松诱发巨噬细胞DNA凋亡峰

小鼠腹腔巨噬细胞经 1×10^{-4} mol/L地塞米松作用0、0.5、1.0、2.0、4.0 h、8.0 h后,流式细胞仪检测DNA凋亡峰。

上述有关形态学观察、TUNEL染色、DNA凝胶电泳以及流式细胞术的凋亡峰等检测结果均显示了大剂量地塞米松(1×10^{-4} mol/L)处理使巨噬细胞呈现特征性的凋亡变化,而且凋亡发生早、变化典型、检出率高。这些结果可能提示大剂量地塞米松的处理可快速、高效诱发包括巨噬细胞在内的细胞凋亡,这为快速、实时了解细胞凋亡过程中的形态、生化和生物物理等重要凋亡特征变化提供了可行性。同时,我们的结果还显示,加入放线菌酮,巨噬细胞凋亡率无明显变化,表明地塞米松可能通过不需新合成蛋白质介入的转导机制^[17]而诱导巨噬细胞的凋亡。

参 考 文 献

- Richardson B C, Lalwani N D, Johnson K J, et al. Fas ligation triggers apoptosis in macrophages but not endothelial cells. *Eur J Immunol*, 1994, **24** (11): 2640~2645
- Adler B, Adler H, Pfister H, et al. Macrophages infected with cytopathic bovine viral diarrhea virus release a factor(s) capable of priming uninfected macrophages for activation-induced apoptosis. *J Virol*, 1997, **71** (4): 3255~3258
- Munn D H, Beal A C, Song D, et al. Activation-induced apoptosis: developmental regulation of a novel cell death pathway by macrophage colony-stimulating factor and interferon gamma. *J Exp Med*, 1995, **181** (1): 127~136
- Mebmer U K, Lapetina E G, Brune B. Nitric oxide-induced apoptosis in RAW 264.7 macrophages is antagonized by protein kinase C- and protein kinase A-activating compounds. *Mol Pharmacol*, 1995, **47** (4): 757~765
- Mebmer U K, Brune B. Nitric oxide (NO) in apoptotic versus necrotic RAW 264.7 macrophage cell death: the role of NO-donor exposure, NAD⁺ content, and p53 accumulation. *Arch Biochem Biophys*, 1996, **327** (1): 1~10
- Singhal P C, Reddy K, Ding G, et al. Ethanol-induced macrophage apoptosis: the role of TGF-beta. *J Immunol*, 1999, **162** (5): 3031~3036
- Bermudez L E, Parker A, Petrofsky M. Apoptosis of *Mycobacterium avium*-infected macrophages is mediated by both tumour necrosis factor (TNF) and Fas, and involves the activation of caspases. *Clin Exp Immunol*, 1999, **116** (1): 94~99
- Brown S B, Savill J. Phagocytosis triggers macrophage release of Fas ligand and induces apoptosis of bystander leukocytes. *J Immunol*, 1999, **162** (1): 480~485
- 鄂征主编. 组织培养技术. 北京: 人民卫生出版社, 1993. 185~189
- E Z. Techniques for Tissue Culture. Beijing: People Health Press, 1993. 185~189

- 10 洪 涛主编. 生物医学超微结构与电子显微镜技术. 北京: 科学出版社, 1984. 125
Hong T. *Biomedical Ultrastructure and Electron Microscopy*. Beijing: Science Press, 1984. 125
- 11 Gavrieli Y, Sherman Y, Shmuel A. Identification of programmed cell death *in situ* via specific labeling of nuclear DNA fragmentation. *J Cell Biol*, 1992, **119** (2): 493~ 502
- 12 Schmid I, Uittenbogaart C H, Keld B, et al. A rapid method for measuring apoptosis and dual-color immunofluorescence by single laser flow cytometry. *J Immunol Methods*, 1994, **170** (1): 145 ~ 157
- 13 Nguyen K B, McCombe P A, Pender M P. Increased apoptosis of T cells and macrophages in the central and peripheral nervous systems of Lewis rats with experimental autoimmune encephalomyelitis treated with dexamethasone. *J Neuropathol Exp Neurol*, 1997, **56** (1): 58~ 69
- 14 黄行许, 鲍永耀, 黄辉, 等. 利用共焦镜检测凋亡早期巨噬细胞内 pH 的变化. 第一军医大学学报, 1998, **18** (2): 143
Huang X X, Bao Y Y, Huang H, et al. *Journal of First Military Medicine University*, 1998, **18** (2): 143
- 15 Hale A J, Smith C A, Sutherland L C, et al. Apoptosis: molecular regulation of cell death. *Eur J Biol Chem*, 1996, **236** (1): 1~ 26
- 16 Nicoletti I, Migliorati G, Pagliacci MC, et al. A rapid and simple method for measuring thymocyte apoptosis by propidium iodide staining and flow cytometry. *J Immunol Methods*, 1991, **139** (2): 271~ 279
- 17 Tsao N, Lei H Y. Activation of the Na^+/H^+ antiporter, $\text{Na}^+/\text{HCO}_3^-/\text{CO}_3^{2-}$ cotransporter, or $\text{Cl}^-/\text{HCO}_3^-$ exchanger in spontaneous thymocyte apoptosis. *J Immunol*, 1996, **157** (3): 1107~ 1116

Study on the Apoptosis of Macrophages Induced by Dexamethasone. HUANG Xing-Xu, CHEN Lian-

Bo¹⁾, BAO Yong-Yao¹⁾, PIAO Ying-Jie¹⁾, HUANG You-Guo (*National Laboratory of Biomacromolecules, Institute of Biophysics, The Chinese Academy of Sciences, Beijing 100101, China*; ¹⁾ *Central Laboratory, First Military Medical University, Guangzhou 510515, China*).

Abstract By transmission electron microscopy, DNA agarose gel electrophoresis, flow cytometry and TUNEL staining, changes of the murine peritoneal macrophages treated with high dose of dexamethasone were observed. The results clearly showed that, treated with high dose of dexamethasone, the macrophages presented various changes in ultrastructure: chromatin condensed and abutted sharply against the nuclear membrane, and cytoplasm condensed. Half hour after dexamethasone treatment, DNA ladder was visualized by agarose gel electrophoresis. The macrophages displayed TUNEL positive. The characteristic apoptosis peak of DNA was showed by flow cytometry. The results indicated that the macrophages treated with high dose of dexamethasone may develop apoptosis rapidly and efficiently.

Key words murine, peritoneal macrophage, apoptosis, dexamethasone

2001 年《微生物学杂志》征订启事

《微生物学杂志》是包括工业微生物学、农业微生物学、医学医药微生物学、兽医微生物学、食用菌学及生物工程学在内的综合性学术刊物, 为我国生物学核心期刊, 1987 年开始被美国《CA》和《中国生物学文摘》等国内外重要检索刊物摘引和收录。主要任务有开展学术交流、反映国内外微生物领域的进展与方向, 提高广大微生物学工作者的业务水平, 为加速科研成果的转化, 指导生产, 促进科技致富做出了积极贡献。

该刊为微机排版, 胶版印刷, 大 16 开本, 季刊。主要栏目有“研究报告”、“研究简报”、“实验与技术”、“进展与评述”、“开发与应用”、“专题译述”、“技术讲座”、“科技信息与服务”及“会议简讯”等。读者对象为本学科的科技工作者, 大中专院校师生, 企业、厂家及微生物学爱好者。该刊承接广告业务, 竭诚欢迎国内外广大读者广为利用。

该刊创办于 1978 年, 国内外公开发行, 由《微生物学杂志》编辑部征订发行。

订 阅 办 法

① 《微生物学杂志》全年四期, 每期 6.50 元, 邮费 1.00 元, 全年订费 30.00 元。

② 邮局汇款地址: 辽宁省朝阳市文化路二段 22 号《微生物学杂志》编辑部 邮编: 122000

电话: (0421) 2914613; E-mail: lnwsuxh@mail.cyptt.ln.cn

银行汇款地址: 中国工商银行朝阳双塔办事处 帐号: 2032490165-69(务必注明联系人姓名)